

УДК 539.3

ДВУМЕРНАЯ НЕСТАЦИОНАРНАЯ ЗАДАЧА УПРУГОЙ ДИФФУЗИИ ДЛЯ ИЗОТРОПНОГО ОДНОКОМПОНЕНТНОГО СЛОЯ

А. В. Земсков, Д. В. Тарлаковский*

Московский авиационный институт (национальный исследовательский университет),
125993 Москва, Россия

* Научно-исследовательский институт механики Московского государственного
университета им. М. В. Ломоносова, 119192 Москва, Россия
E-mails: azemskov1975@mail.ru, tdvhome@mail.ru

С использованием локально-равновесной модели механодиффузии, включающей связанную систему уравнений движения упругого тела и уравнение массопереноса, решается двумерная нестационарная задача упругой диффузии для изотропного однокомпонентного слоя. Решение строится с помощью рядов Фурье, преобразований Лапласа по времени и преобразований Фурье по пространственной координате. Оригиналы преобразования Лапласа находятся аналитически, для обращения преобразования Фурье применяются квадратурные формулы.

Ключевые слова: нестационарная упругая диффузия, изотропный слой, преобразования Лапласа и Фурье, ряды Фурье.

DOI: 10.15372/PMTF20150612

Введение. При аналитическом решении двумерных нестационарных задач для упругого слоя с учетом диффузии на определенном этапе, как правило, применяется интегральное преобразование Лапласа по времени. При этом трудности возникают при обращении преобразования. Существуют различные подходы к решению данной проблемы. Также возможно построение решений указанных задач с помощью разложений в ряды по собственным функциям. В этом случае трансформанты Лапласа являются дробно-рациональными функциями [1–3], что существенно упрощает задачу обращения. Далее приводится решение одной из задач данного класса.

1. Постановка задачи. В прямоугольной декартовой системе координат $Ox_1x_2x_3$ рассматривается однородный упругий изотропный слой, ограниченный плоскостями $x_2 = 0$, $x_2 = L$. Предполагается, что физико-механические процессы в слое без учета температурных эффектов описываются уравнениями [1–4]

$$(\lambda + \mu) \operatorname{grad} \operatorname{div} \mathbf{u} + \mu \Delta \mathbf{u} = \rho \frac{\partial^2 \mathbf{u}}{\partial t^2} + \alpha \operatorname{grad} \eta, \quad D \Delta \eta = \frac{\partial \eta}{\partial t} + \Lambda \Delta (\operatorname{div} \mathbf{u}),$$

где $\mathbf{u} = \{u_1(x_1, x_2, t), u_2(x_1, x_2, t), 0\}$ — вектор перемещений; t — время; $\eta = n - n_0$ — приращение объемной концентрации n веществ относительно начальной концентрации n_0 ; λ ,

Работа выполнена при финансовой поддержке Российского фонда фундаментальных исследований (код проекта 14-08-01161) и Совета по грантам Президента РФ по государственной поддержке ведущих научных школ (грант № НШ-2029.2014.8).

© Земсков А. В., Тарлаковский Д. В., 2015

μ — упругие постоянные Ламе; ρ — плотность среды; α — коэффициент объемного расширения, связанного с массопереносом; D — коэффициент самодиффузии; $\Lambda = n_0 D \alpha / (RT_0)$; R — универсальная газовая постоянная; T_0 — абсолютная температура среды.

На границах слоя задаются касательное напряжение σ_{12} и перемещение u_2 , а также координата J_2 вектора диффузионного потока \mathbf{J} :

$$\begin{aligned} \sigma_{12}|_{x_2=0} &= f_{11}(x_1, t), & u_2|_{x_2=0} &= f_{21}(x_1, t), & J_2|_{x_2=0} &= f_{31}(x_1, t), \\ \sigma_{12}|_{x_2=L} &= f_{12}(x_1, t), & u_2|_{x_2=L} &= f_{22}(x_1, t), & J_2|_{x_2=L} &= f_{32}(x_1, t), \end{aligned}$$

где

$$\sigma_{ij} = \lambda \delta_{ij} \operatorname{div} \mathbf{u} + \mu \left(\frac{\partial u_i}{\partial x_j} + \frac{\partial u_j}{\partial x_i} \right) - \alpha \delta_{ij} \eta, \quad J_i = \Lambda \delta_{il} \delta_{jk} \frac{\partial^2 u_k}{\partial x_l \partial x_j} - D \delta_{ij} \frac{\partial \eta}{\partial x_j},$$

δ_{ij} ($i = 1, 2$) — символ Кронекера.

В начальный момент времени слой находится в невозмущенном состоянии.

Введем следующие безразмерные параметры (далее штрих опускается):

$$\begin{aligned} x'_i &= \frac{x_i}{L}, \quad u'_i = \frac{u_i}{L}, \quad \tau = \frac{ct}{L}, \quad c^2 = \frac{\lambda + 2\mu}{\rho}, \quad \eta' = \frac{\eta}{n_0}, \quad \lambda' = \frac{\lambda}{\rho c^2}, \quad \mu' = \frac{\mu}{\rho c^2} \quad (i = 1, 2), \\ \alpha' &= \frac{n_0 \alpha}{\rho c^2}, \quad D' = \frac{D}{cL}, \quad \Lambda' = \frac{\Lambda}{n_0 c L}, \quad f'_{1q} = \frac{f_{1q}}{\mu}, \quad f'_{2q} = \frac{f_{2q}}{L}, \quad f'_{3q} = \frac{f_{3q}}{n_0 c D} \quad (q = 1, 2). \end{aligned}$$

Соответствующий безразмерный аналог указанной выше начально-краевой задачи записывается следующим образом:

$$\begin{aligned} \ddot{u}_1 &= \Delta_{1\mu}(u_1) + L_{12}(u_2) - L_{13}(\eta), & \ddot{u}_2 &= L_{12}(u_1) + \Delta_{\mu 1}(u_2) - L_{23}(\eta), \\ \dot{\eta} &= -L_{31}(u_1) - L_{32}(u_2) + \Delta_{DD}(\eta); \end{aligned} \quad (1.1)$$

$$\begin{aligned} M_1(u_1, u_2)|_{x_2=0} &= f_{11}(x_1, \tau), & M_1(u_1, u_2)|_{x_2=1} &= f_{12}(x_1, \tau), \\ M_2(u_1, u_2, \eta)|_{x_2=0} &= f_{31}(x_1, \tau), & u_2|_{x_2=0} &= f_{21}(x_1, \tau), \end{aligned} \quad (1.2)$$

$$\begin{aligned} M_2(u_1, u_2, \eta)|_{x_2=1} &= f_{32}(x_1, \tau), & u_2|_{x_2=1} &= f_{22}(x_1, \tau); \\ u_i|_{\tau=0} &= \dot{u}_i|_{\tau=0} = \eta|_{\tau=0} = 0. \end{aligned} \quad (1.3)$$

Здесь точки обозначают производные по безразмерному времени τ ,

$$\begin{aligned} \Delta_{\alpha\beta} &= \alpha \frac{\partial^2}{\partial x_1^2} + \beta \frac{\partial^2}{\partial x_2^2}, \quad L_{12} = (\lambda + \mu) \frac{\partial^2}{\partial x_1 \partial x_2}, \quad L_{i3} = \alpha \frac{\partial}{\partial x_i}, \quad L_{3i} = \frac{\partial \Delta_{\Lambda\Lambda}}{\partial x_i}, \\ M_1(u_1, u_2) &= \frac{\partial u_1}{\partial x_2} + \frac{\partial u_2}{\partial x_1}, \quad M_2(u_1, u_2, \eta) = \gamma \frac{\partial}{\partial x_2} \left(\frac{\partial u_1}{\partial x_1} + \frac{\partial u_2}{\partial x_2} \right) - \frac{\partial \eta}{\partial x_2}, \quad \gamma = \frac{\Lambda}{D}. \end{aligned}$$

2. Метод решения. Пусть $G_{imq} = u_i$, $G_{3mq} = \eta$ ($m = 1, 2, 3$; $i = 1, 2$, $q = 1, 2$) — функции Грина задачи (1.1)–(1.3), а именно решения задач, включающих уравнения (1.1), начальные условия (1.3) и граничные условия

$$\begin{aligned} M_1(G_{1mq}, G_{2mq})|_{x_2=0} &= \delta_{m1} \delta_{q1} \delta(x_1) \delta(\tau), & G_{2mq}|_{x_2=0} &= \delta_{m2} \delta_{q1} \delta(x_1) \delta(\tau), \\ M_2(G_{1mq}, G_{2mq}, G_{3mq})|_{x_2=0} &= \delta_{m3} \delta_{q1} \delta(x_1) \delta(\tau), \\ M_1(G_{1mq}, G_{2mq})|_{x_2=1} &= \delta_{m1} \delta_{q2} \delta(x_1) \delta(\tau), & G_{2mq}|_{x_2=1} &= \delta_{m2} \delta_{q2} \delta(x_1) \delta(\tau), \\ M_2(G_{1mq}, G_{2mq}, G_{3mq})|_{x_2=1} &= \delta_{m3} \delta_{q2} \delta(x_1) \delta(\tau) \end{aligned} \quad (2.1)$$

$(\delta(\tau))$ — дельта-функция Дирака). Тогда решение задачи (1.1)–(1.3) принимает вид

$$\begin{aligned} u_i(x_1, x_2, \tau) &= \sum_{m=1}^3 \sum_{q=1}^2 G_{imq}(x_1, x_2, \tau) ** f_{mq}(x_1, \tau), \\ \eta(x_1, x_2, \tau) &= \sum_{m=1}^3 \sum_{q=1}^2 G_{3mq}(x_1, x_2, \tau) ** f_{mq}(x_1, \tau), \end{aligned} \quad (2.2)$$

где символ “*” обозначает свертки по времени τ и координате x_1 .

Заметим, что с использованием замены пространственной переменной $y = 1 - x_2$ из (1.1), (1.3), (2.1) можно получить следующую связь функций Грина:

$$G_{im2}(x_1, x_2, \tau) = (-1)^i G_{im1}(x_1, x_2, \tau).$$

Тогда формулы (2.2) принимают вид

$$\begin{aligned} u_1 &= G_{111} ** (f_{11} - f_{12}) + G_{121} ** (f_{21} - f_{22}) + G_{131} ** (f_{31} - f_{32}), \\ u_2 &= G_{211} ** (f_{11} + f_{12}) + G_{221} ** (f_{21} + f_{22}) + G_{231} ** (f_{31} + f_{32}), \\ \eta &= G_{311} ** (f_{11} - f_{12}) + G_{321} ** (f_{21} - f_{22}) + G_{331} ** (f_{31} - f_{32}). \end{aligned} \quad (2.3)$$

Таким образом, для определения перемещения и приращения концентрации достаточно найти функции G_{km1} ($k = 1, 2, 3$, $m = 1, 2, 3$). При этом для их определения в качестве ядер представлений (2.3) достаточно ограничиться случаем $f_{m2} \equiv 0$.

Применяя к задаче (1.1)–(1.3) преобразование Лапласа по времени и преобразование Фурье по переменной x_1 , получаем

$$\begin{aligned} l_{11}(u_1^{FL}) - i\omega(\lambda + \mu) \frac{\partial u_2^{FL}}{\partial x_2} + i\omega\alpha\eta^{FL} &= 0, \\ -i\omega(\lambda + \mu) \frac{\partial u_1^{FL}}{\partial x_2} + l_{22}(u_2^{FL}) + \alpha \frac{\partial \eta^{FL}}{\partial x_2} &= 0, \\ i\omega l_{31}(u_1^{FL}) + \frac{\partial}{\partial x_2} l_{31}(u_2^{FL}) + l_{33}(\eta^{FL}) &= 0; \end{aligned} \quad (2.4)$$

$$\begin{aligned} m_1(u_1^{FL}, u_2^{FL})|_{x_2=0} &= f_{11}^{FL}, \quad u_2^{FL}|_{x_2=0} = f_{21}^{FL}, \quad m_2(u_1^{FL}, u_2^{FL}, \eta^{FL})|_{x_2=0} = f_{31}^{FL}, \\ m_1(u_1^{FL}, u_2^{FL})|_{x_2=1} &= 0, \quad u_2^{FL}|_{x_2=1} = 0, \quad m_2(u_1^{FL}, u_2^{FL}, \eta^{FL})|_{x_2=1} = 0. \end{aligned} \quad (2.5)$$

Здесь s , ω — параметры преобразований; индексы L , F обозначают трансформанты,

$$\begin{aligned} l_{11}(u_1) &= \varkappa_1(\omega, s)u_1 - \mu u_1'', \quad l_{22}(u_2) = \varkappa_2(\omega, s)u_2 - u_2'', \\ l_{31}(u_i) &= \Lambda(u_i'' - \omega^2 u_i), \quad l_{33}(\eta) = \varkappa_3(\omega, s)\eta - D\eta'', \\ \varkappa_1(\omega, s) &= \omega^2 + s^2, \quad \varkappa_2(\omega, s) = \mu\omega^2 + s^2, \quad \varkappa_3(\omega, s) = D\omega^2 + s, \\ m_1(u_1, u_2) &= u_1' + i\omega u_2, \quad m_2(u_1, u_2, \eta) = \gamma(i\omega u_1 + u_2')' - \eta' \end{aligned}$$

(штрих означает производную по переменной x_2).

В силу (2.3) решения задачи (2.4), (2.5) можно записать в виде

$$u_i^{FL} = \sum_{m=1}^3 G_{im1}^{FL} f_{m1}^{FL}, \quad \eta^{FL} = \sum_{m=1}^3 G_{3m1}^{FL} f_{m1}^{FL}. \quad (2.6)$$

Для определения коэффициентов G_{km1}^{FL} линейных комбинаций (2.6) представляем функции в виде двух слагаемых

$$u_i^{FL} = U_i + \varphi_i, \quad \eta^{FL} = H + \psi, \quad (2.7)$$

где φ_i, ψ выбираются таким образом, чтобы правые части граничных условий (2.5) стали нулевыми:

$$\varphi_2(\omega, x_2, s) = \varphi_2^*(x_2)f_{21}^{FL}, \quad \varphi_2^*(x_2) = 1 - x_2. \quad (2.8)$$

Тогда для функций φ_1, ψ из первого и третьего равенств (2.5) с учетом (2.8) получаем следующие соотношения:

$$\begin{aligned} (\varphi_1' + i\omega f_{21}^{FL} \varphi_2^*)|_{x_2=0} &= f_{11}^{FL}, & (i\omega\gamma\varphi_1' - \psi')|_{x_2=0} &= f_{31}^{FL}, \\ (\varphi_1' + i\omega f_{21}^{FL} \varphi_2^*)|_{x_2=1} &= 0, & (i\omega\gamma\varphi_1' - \psi')|_{x_2=1} &= 0. \end{aligned}$$

Интегрируя последовательно эти равенства, находим функции φ_1, ψ :

$$\begin{aligned} \varphi_1(\omega, x_2, s) &= (f_{11}^{FL} - i\omega f_{21}^{FL})\varphi_1^*(x_2), & \varphi_1^*(x_2) &= x_2(1 - x_2/2), \\ \psi(\omega, x_2, s) &= (i\omega\gamma f_{11}^{FL} + \omega^2\gamma f_{21}^{FL} - f_{31}^{FL})\varphi_1^*(x_2). \end{aligned} \quad (2.9)$$

Подставляя (2.7) с учетом соотношений (2.9) в (2.4), (2.5), получаем краевую задачу

$$\begin{aligned} l_{11}(U_1) - i\omega(\lambda + \mu)U_2' + i\omega\alpha H &= F_1, \\ -i\omega(\lambda + \mu)U_1' + l_{22}(U_2) + \alpha H' &= F_2, \\ i\omega l_{31}(U_1) + l_{31}(U_2') + l_{33}(H) &= F_3; \end{aligned} \quad (2.10)$$

$$\begin{aligned} m_1(U_1, U_2)|_{x_2=0} = 0, \quad U_2^{FL}|_{x_2=0} = 0, \quad m_2(U_1, U_2, H)|_{x_2=0} = 0, \\ m_1(U_1, U_2)|_{x_2=1} = 0, \quad U_2^{FL}|_{x_2=1} = 0, \quad m_2(U_1, U_2, H)|_{x_2=1} = 0, \end{aligned} \quad (2.11)$$

где

$$\begin{aligned} F_1 &= B_{11}(\omega, s)\varphi_1^* + B_{10}(\omega, s), & F_2 &= B_{22}(\omega, s)\varphi_2^*, & F_3 &= B_{31}(\omega, s)\varphi_1^* + B_{30}(\omega, s), \\ B_{11}(\omega, s) &= [\omega^2\alpha\gamma - \varkappa_1(\omega, s)](f_{11}^{FL} - i\omega f_{21}^{FL}) + i\omega\alpha f_{31}^{FL}, \\ B_{22}(\omega, s) &= i\omega[\lambda + \mu - \alpha\gamma]f_{11}^{FL} - [s^2 + \alpha\omega^2\gamma - \lambda\omega^2]f_{21}^{FL} + \alpha f_{31}^{FL}, \\ B_{31}(\omega, s) &= -i\omega\gamma s f_{11}^{FL} - \omega^2\gamma s f_{21}^{FL} + \varkappa_3(\omega, s)f_{31}^{FL}, \\ B_{10}(\omega, s) &= -(\mu f_{11}^{FL} + i\omega\lambda f_{21}^{FL}), & B_{30}(\omega, s) &= -\omega^2\Lambda f_{21}^{FL} + D f_{31}^{FL}. \end{aligned} \quad (2.12)$$

Решение системы уравнений (2.10) представим в виде удовлетворяющих граничным условиям (2.11) тригонометрических рядов

$$\begin{aligned} U_1(\omega, x_2, s) &= \sum_{n=0}^{\infty} U_{1n}(\omega, s) \cos(\lambda_n x_2), & U_2(\omega, x_2, s) &= \sum_{n=1}^{\infty} U_{2n}(\omega, s) \sin(\lambda_n x_2), \\ H(\omega, x_2, s) &= \sum_{n=0}^{\infty} H_n(\omega, s) \cos(\lambda_n x_2), & \lambda_n &= \pi n. \end{aligned} \quad (2.13)$$

Правые части (2.10) запишем в виде аналогичных рядов

$$F_1(\omega, x_2, s) = \sum_{n=0}^{\infty} F_{1n}(\omega, s) \cos(\lambda_n x_2), \quad F_2(\omega, x_2, s) = \sum_{n=1}^{\infty} F_{2n}(\omega, s) \sin(\lambda_n x_2),$$

$$F_3(\omega, x_2, s) = \sum_{n=0}^{\infty} F_{3n}(\omega, s) \cos(\lambda_n x_2),$$

где

$$F_{10} = B_{11}(\omega, s)/3 + B_{10}(\omega, s), \quad F_{30} = B_{31}(\omega, s)/3 + B_{30}(\omega, s),$$

$$F_{1n} = -2\lambda_n^{-2} B_{11}(\omega, s), \quad F_{2n} = 2\lambda_n^{-1} B_{22}(\omega, s), \quad F_{3n} = -2\lambda_n^{-2} B_{31}(\omega, s) \quad (n \geq 1). \quad (2.14)$$

В результате получаем следующие системы уравнений относительно коэффициентов рядов:

$$\varkappa_1(\omega, s)U_{10} + i\omega\alpha H_0 = F_{10}, \quad -i\omega^3 \Lambda U_{10} + \varkappa_3(\omega, s)H_0 = F_{30}; \quad (2.15)$$

$$k_{1n}(\omega, s)U_{1n} - i\omega\lambda_n(\lambda + \mu)U_{2n} + i\omega\alpha H_n = F_{1n},$$

$$i\omega\lambda_n(\lambda + \mu)U_{1n} + k_{2n}(\omega, s)U_{2n} - \alpha\lambda_n H_n = F_{2n}, \quad (2.16)$$

$$-\Lambda k_{4n}(\omega)(i\omega U_{1n} + \lambda_n U_{2n}) + k_{3n}(\omega, s)H_n = F_{3n} \quad (n \geq 1),$$

где

$$k_{1n}(\omega, s) = \varkappa_1(\omega, s) + \lambda_n^2 \mu, \quad k_{2n}(\omega, s) = \varkappa_2(\omega, s) + \lambda_n^2,$$

$$k_{3n}(\omega, s) = \varkappa_3(\omega, s) + D\lambda_n^2, \quad k_{4n}(\omega) = \varkappa_1(\omega, \lambda_n).$$

В соответствии с формулами (2.12), (2.14) решения уравнений (2.15), (2.16) представляют собой линейные комбинации функций f_{m1}^{FL} . Тогда согласно (2.7) линейными комбинациями являются также изображения коэффициентов рядов (2.13):

$$w_{in}^{FL} = \sum_{m=1}^3 G_{im1n}^{FL} f_{m1}^{FL}, \quad \eta_n^{FL} = \sum_{m=1}^3 G_{3m1n}^{FL} f_{m1}^{FL} \quad (i = 1, 2).$$

При этом имеют место равенства

$$G_{lm1}^{FL}(\omega, x_2, s) = \sum_{n=0}^{\infty} G_{lm1n}^{FL}(\omega, s) \cos(\lambda_n x_2) \quad (l = 1, 3),$$

$$G_{2m1}^{FL}(\omega, x_2, s) = \sum_{n=1}^{\infty} G_{2m1n}^{FL}(\omega, s) \sin(\lambda_n x_2). \quad (2.17)$$

Определяя решение уравнений (2.15), (2.16) и проведя соответствующие преобразования, получаем коэффициенты рядов (2.17) в виде

$$G_{km1n}^{FL}(\omega, s) = \frac{P_{kmn}(\omega, s)}{P_n(\omega, s)}.$$

Здесь числители и знаменатели, являющиеся многочленами, определяются следующим образом:

$$P_0(\omega, s) = \varkappa_3(\omega, s)\varkappa_1(\omega, s) - \alpha\omega^4 \Lambda, \quad P_{130}(\omega, s) = -i\omega\alpha D,$$

$$P_{110}(\omega, s) = -\mu\varkappa_3(\omega, s), \quad P_{120}(\omega, s) = i\omega[\alpha\omega^2 \Lambda - \lambda\varkappa_3(\omega, s)],$$

$$\begin{aligned}
 P_{310}(\omega, s) &= -i\omega^3\mu\Lambda, & P_{320}(\omega, s) &= -\omega^2\Lambda[\varkappa_2(\omega, s) - \lambda\omega^2], & P_{330}(\omega, s) &= D\varkappa_1(\omega, s), \\
 P_n(\omega, s) &= (s^2 + \mu k_{4n})\Pi_n(k_{4n}, s), & \Pi_n(x, s) &= s^3 + xs(Ds + 1) + (D - \alpha\Lambda)x^2, \\
 P_{11n}(\omega, s) &= -2\mu(k_{2n}k_{3n} - \alpha\lambda_n^2\Lambda k_{4n}), & P_{13n}(\omega, s) &= -2i\omega D\alpha[\lambda_n^2(\lambda + \mu) - k_{2n}], \\
 P_{12n}(\omega, s) &= -2i\omega[\alpha(\lambda + \mu)\Lambda\lambda_n^2k_{4n} - \alpha k_{4n}k_{2n} - \lambda_n^2(\lambda + \mu)k_{3n} + k_{3n}k_{2n}\lambda], \\
 P_{21n}(\omega, s) &= 2i\omega\lambda_n\mu[(\lambda + \mu)k_{3n} - \alpha k_{4n}], & P_{23n}(\omega, s) &= 2\alpha D\lambda_n[k_{1n} - \omega^2(\lambda + \mu)], \\
 P_{22n}(\omega, s) &= 2\lambda_n\{k_{1n}k_{3n} - \alpha k_{4n}(\mu\omega^2 + k_{1n}) - \lambda\omega^2[(\lambda + \mu)k_{3n} - \alpha k_{4n}]\}, \\
 P_{31n}(\omega, s) &= 2i\omega\mu k_{4n}[(\lambda + \mu)\lambda_n^2 - k_{2n}], \\
 P_{32n}(\omega, s) &= -2k_{4n}[\omega^2(\lambda + \mu)^2\lambda_n^2 - \omega^2\lambda k_{2n} - k_{1n}(\lambda_n^2 - k_{2n})], \\
 P_{33n}(\omega, s) &= -2D[\omega^2\lambda_n^2(\lambda + \mu)^2 - k_{1n}k_{2n}].
 \end{aligned}$$

3. Определение оригиналов функций влияния. Обращая преобразование Лапласа, из (2.17) получаем

$$\begin{aligned}
 G_{lm1}^F(\omega, x_2, \tau) &= \sum_{n=0}^{\infty} G_{lm1n}^F(\omega, \tau) \cos(\lambda_n x_2) \quad (l = 1, 3), \\
 G_{2m1}^F(\omega, x_2, \tau) &= \sum_{n=1}^{\infty} G_{2m1n}^F(\omega, \tau) \sin(\lambda_n x_2).
 \end{aligned} \tag{3.1}$$

Функции G_{km1n}^{FL} являются правильными рациональными дробями аргумента s , поэтому переход в пространство оригиналов можно осуществить с помощью вычетов. Поскольку в реальных материалах $\alpha\Lambda \ll D < 1$, с помощью критерия Рауса — Гурвица можно показать, что многочлены $P_0(\omega, s)$, $\Pi_n[k_{4n}(\omega), s]$ имеют следующие нули: $s_{1n} = \bar{s}_{2n} = \gamma_n + i\beta_n$, $\gamma_n < 0$, $s_{3n} < 0$, $s_{3n} \in \mathbb{R}$ (i — мнимая единица). Для многочлена $P_n(\omega, s)$ к ним добавляются мнимые нули: $s_{4n} = \bar{s}_{5n} = i\varepsilon_n$, $\varepsilon_n^2 = \mu k_{4n}(\omega)$. Следовательно, коэффициенты рядов имеют вид

$$\begin{aligned}
 G_{km10}^F(\omega, \tau) &= e^{\gamma_0\tau} (A_{km0}^{(1)} \cos(\beta_0\tau) - A_{km0}^{(2)} \sin(\beta_0\tau)) + A_{km0}^{(3)} e^{s_{30}\tau}, \\
 G_{km1n}^F(\omega, \lambda_n, \tau) &= e^{\gamma_n\tau} (A_{kmn}^{(1)} \cos(\beta_n\tau) - A_{kmn}^{(2)} \sin(\beta_n\tau)) + A_{kmn}^{(3)} e^{s_{3n}\tau} + \\
 &\quad + A_{kmn}^{(4)} \cos(\varepsilon_n\tau) - A_{kmn}^{(5)} \sin(\varepsilon_n\tau),
 \end{aligned} \tag{3.2}$$

где

$$\begin{aligned}
 A_{kmn}^{(1)} &= 2 \operatorname{Re} \frac{P_{kmn}(\omega, s_{1n})}{P_n'(\omega, s_{1n})}, & A_{kmn}^{(2)} &= 2 \operatorname{Im} \frac{P_{kmn}(\omega, s_{1n})}{P_n'(\omega, s_{1n})}, & A_{kmn}^{(3)} &= \frac{P_{kmn}(\omega, s_{3n})}{P_n'(\omega, s_{3n})} \quad (n \geq 0), \\
 A_{kmn}^{(4)} &= 2 \operatorname{Re} \frac{P_{kmn}(\omega, s_{4n})}{P_n'(\omega, s_{4n})}, & A_{kmn}^{(5)} &= 2 \operatorname{Im} \frac{P_{kmn}(\omega, s_{4n})}{P_n'(\omega, s_{4n})} \quad (n \geq 1),
 \end{aligned}$$

штрих означает производную по параметру s .

Расчеты показывают, что ряды (3.1) для функций $G_{321}^F(\omega, x_2, \tau)$, $G_{331}^F(\omega, x_2, \tau)$ сходятся медленно. Это обусловлено следующей асимптотикой при $s \rightarrow \infty$ для изображений коэффициентов рядов:

$$\begin{aligned}
 G_{3210}^{FL}(\omega, s) &\sim -\omega^2\Lambda s^{-1}, & G_{3310}^{FL}(\omega, s) &\sim Ds^{-1}, \\
 G_{321n}^{FL}(\omega, s) &\sim -2\Lambda k_{4n}(\omega) s^{-1}, & G_{331n}^{FL}(\omega, s) &\sim 2Ds^{-1} \quad (n \geq 1).
 \end{aligned}$$

Поскольку оригиналом изображения s^{-1} является функция Хевисайда $H(\tau)$ [5], в правой полукрестности точки $\tau = 0$ функции $G_{321}^F(\omega, x_2, \tau)$ и $G_{331}^F(\omega, x_2, \tau)$ имеют разрыв первого рода. Для выделения данной особенности изображения этих функций представим в виде

$$G_{3m1}^{FL}(\omega, x_2, s) = S_{3m1}^{FL}(\omega, x_2, s) + R_{3m1}^{FL}(\omega, x_2, s),$$

$$S_{3m1}^{FL}(\omega, x_2, s) = \sum_{n=0}^{\infty} S_{3m1n}^{FL}(\omega, s) \cos(\lambda_n x_2),$$

$$R_{3m1}^{FL}(\omega, x_2, s) = \sum_{n=0}^{\infty} R_{3m1n}^{FL}(\omega, s) \cos(\lambda_n x_2) \quad (m = 2, 3),$$

где

$$S_{3210}^{FL}(\omega, s) = -\frac{\omega^2 \Lambda}{\varkappa_3(\omega, s)}, \quad S_{3310}^{FL}(\omega, s) = \frac{D}{\varkappa_3(\omega, s)},$$

$$R_{3210}^{FL}(\omega, s) = \frac{T_{320}(\omega, s)}{\varkappa_3(\omega, s) P_0(\omega, s)}, \quad R_{3310}^{FL}(\omega, s) = \frac{T_{330}(\omega, s)}{\varkappa_3(\omega, s) P_0(\omega, s)},$$

$$T_{320}(\omega, s) = P_{320}(\omega, s) \varkappa_3(\omega, s) + \omega^2 \Lambda P_0(\omega, s) = \Lambda \omega^4 [\lambda(D\omega^2 + s) - \alpha \omega^2 \Lambda],$$

$$T_{330}(\omega, s) = P_{330}(\omega, s) \varkappa_3(\omega, s) - D P_0(\omega, s) = D \alpha \Lambda \omega^4,$$

$$S_{321n}^{FL}(\omega, s) = -\frac{2\Lambda k_{4n}(\omega)}{k_{3n}(\omega, s)}, \quad S_{331n}^{FL}(\omega, s) = \frac{2D}{k_{3n}(\omega, s)},$$

$$R_{321n}^{FL}(\omega, s) = \frac{T_{32n}(\omega, s)}{k_{3n}(\omega, s) P_n(\omega, s)}, \quad R_{331n}^{FL}(\omega, s) = \frac{T_{33n}(\omega, s)}{k_{3n}(\omega, s) P_n(\omega, s)},$$

$$T_{32n}(\omega, s) = k_{3n}(\omega, s) P_{32n}(\omega, s) + 2\Lambda k_{4n}(\omega) P_n(\omega, s),$$

$$T_{33n}(\omega, s) = k_{3n}(\omega, s) P_{33n}(\omega, s) - 2D P_n(\omega, s).$$

С использованием таблиц и суммирования рядов [5, 6] находим оригиналы по Лапласу функций $S_{3m1}^{FL}(\omega, x_2, s)$:

$$S_{321}^F(\omega, x_2, \tau) = -\omega^2 \Lambda e^{-D\omega^2 \tau} \theta_3\left(\frac{x_2}{2}, e^{-D\pi^2 \tau}\right) + \frac{\Lambda}{D} e^{-D\omega^2 \tau} \frac{\partial}{\partial \tau} \left[\theta_3\left(\frac{x_2}{2}, e^{-D\pi^2 \tau}\right) \right],$$

$$S_{331}^F(\omega, x_2, \tau) = D e^{-D\omega^2 \tau} \theta_3\left(\frac{x_2}{2}, e^{-D\pi^2 \tau}\right)$$

($\theta_3(x, q)$ — тета-функция Якоби).

Обращение преобразования Лапласа коэффициентов $R_{3m1n}^{FL}(\omega, s)$ как рациональных функций проводится аналогично (3.2) с учетом того, что появляется дополнительный полюс $s_{6n} = -D(\omega^2 + \lambda_n^2)$.

Обращение преобразования Фурье проводится для изображений, полученных из (2.6):

$$u_i^F(\omega, x_2, \tau) = \sum_{m=1}^3 G_{im1}^F(\omega, x_2, \tau) * f_{m1}^F(\omega, \tau),$$

$$\eta^F(\omega, x_2, \tau) = \sum_{m=1}^3 G_{3m1}^F(\omega, x_2, \tau) * f_{m1}^F(\omega, \tau).$$

Например, оригинал первой функции имеет вид

$$u_1(x_1, x_2, t) = \frac{1}{2\pi} \sum_{m=1}^3 \int_{-\infty}^{\infty} G_{1m1}^F(\omega, x_2, \tau) * f_{m1}^F(\omega, \tau) e^{i\omega x_1} d\omega. \quad (3.3)$$

Для того чтобы вычислить входящие в (3.3) интегралы, запишем их следующим образом:

$$\int_{-\infty}^{\infty} G_{km1}^F * f_{m1}^F e^{i\omega x_1} d\omega = \int_{-\infty}^{-a} G_{km1}^F * f_{m1}^F e^{i\omega x_1} d\omega + \int_{-a}^a G_{km1}^F * f_{m1}^F e^{i\omega x_1} d\omega + \int_a^{\infty} G_{km1}^F * f_{m1}^F e^{i\omega x_1} d\omega$$

(a — некоторая промежуточная точка (в расчетах полагается $a = 1$)).

Второй интеграл вычисляется с помощью формулы средних прямоугольников, первый и третий с помощью замен $\omega = -a^2/(a + \nu)$ и $\omega = a^2/(a - \nu)$ сводятся к интегралам по конечным промежуткам $[-a, 0]$, $[0, a]$ соответственно, после чего также вычисляются с помощью формулы средних прямоугольников.

Заметим, что функции $G_{111}^F, G_{221}^F, G_{331}^F, G_{231}^F, G_{321}^F$ являются четными, остальные функции G_{km1}^F — нечетными по ω . Если функции f_{m1}^F также обладают свойством четности (нечетности), то преобразование (3.3) сводится к синус- или косинус-преобразованию Фурье, что уменьшает объем вычислений.

4. Примеры. Положим, что $L = 1$ м, $T_0 = 773$ К, а материалом слоя являются алюминий, имеющий характеристики $\rho = 2700$ кг/м³, $\lambda = 5,55 \cdot 10^{10}$ Н/м², $\mu = 3,50 \cdot 10^{10}$ Н/м², $D = 6,70 \cdot 10^{-6}$ м²/с, которым соответствуют безразмерные величины $\mu = 0,279$, $\lambda = 0,442$, $D = 1,06 \cdot 10^{-9}$, $\alpha = 10^{-4}$, $\Lambda = 1,78 \cdot 10^{-6}$.

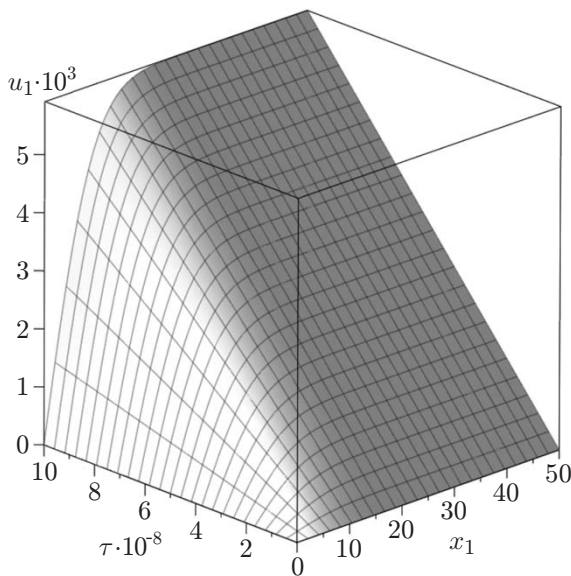


Рис. 1

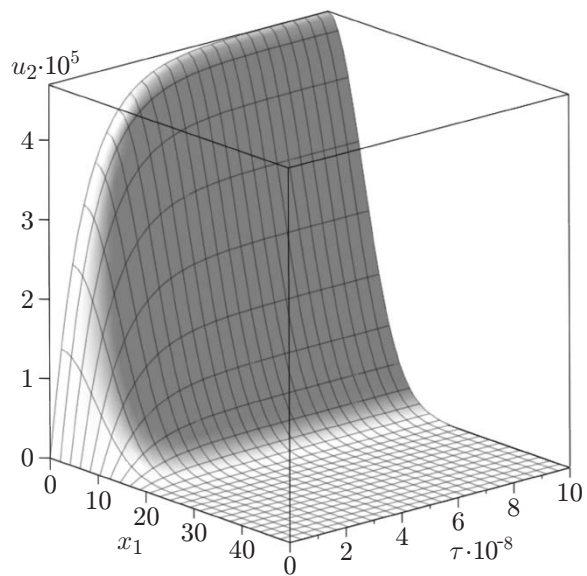


Рис. 2

Рис. 1. Зависимость перемещения u_1 от x_1 и τ при $x_2 = 0,5$

Рис. 2. Зависимость перемещения u_2 от x_1 и τ при $x_2 = 0,5$

Правые части граничных условий (1.2) имеют вид

$$f_{11}(x_1, \tau) = f_{21}(x_1, \tau) = f_{12}(x_1, \tau) = f_{22}(x_1, \tau) = f_{32}(x_1, \tau) \equiv 0,$$
$$f_{31}(x_1, \tau) = e^{-\varepsilon x_1^2} H(\tau), \quad \varepsilon = 0,01.$$

Результаты вычислений приведены на рис. 1, 2. Расчеты проводились при количестве членов ряда Фурье $N_y = 100$ и количестве точек разбиения для вычисления обратного преобразования Фурье $N_x = 100$. Заметим, что при уменьшении шага разбиения в два раза графики практически совпадают.

ЛИТЕРАТУРА

1. **Гачкевич А. Р., Земсков А. В., Тарлаковский Д. В.** Одномерная задача о нестационарной связанной упругой диффузии для слоя // Изв. Саратов. ун-та. Сер. Математика. Механика. Информатика. Саратов: Изд-во Саратов. гос. ун-та, 2013. Т. 13, вып. 4, ч. 1. С. 52–59.
2. **Zemskov A. V., Tarlakovskiy D. V.** Approximate solution of three-dimensional problem for elastic diffusion in orthotropic layer // J. Math. Sci. 2014. V. 203, iss. 2. P. 221–238.
3. **Давыдов С. А., Земсков А. В., Тарлаковский Д. В.** Двухкомпонентное упругодиффузионное полупространство под действием нестационарных возмущений // Экол. вестн. науч. центров Черномор. эконом. сотрудничества. 2014. № 2. С. 31–38.
4. **Tarlakovskii D. V., Vestyak V. A., Zemskov A. V.** Dynamic processes in thermoelectromagnetoelastic and thermoelastodiffusive media // Encyclopedia of thermal stress. Dordrecht; Heidelberg; N. Y.; L.: Springer, 2014. V. 2. P. 1064–1071.
5. **Горшков А. Г.** Волны в сплошных средах: Учеб. пособие для вузов / А. Г. Горшков, А. Л. Медведский, Л. Н. Рабинский, Д. В. Тарлаковский. М.: Физматлит, 2004.
6. **Справочник** по специальным функциям с формулами, графиками и математическими таблицами / Под ред. М. Абрамовица, И. Стиган. М.: Наука, 1979.

Поступила в редакцию 8/VI 2015 г.